

# МЕТОД СБАЛАНСИРОВАННОГО ОБРЕЗАНИЯ ДЛЯ ЗАДАЧИ ОБ ОГРАНИЧЕННЫХ РЕШЕНИЯХ\*

Е. Г. Беломытцева, В. Г. Курбатов, Е. Б. Туленко

*Воронежский государственный университет*

Поступила в редакцию 20.11.2016 г.

**Аннотация.** Изучается система

$$\begin{aligned}x'(t) &= Ax(t) + bu(t), \\y(t) &= cx(t) + du(t),\end{aligned}$$

в предположении, что спектр матрицы  $A$  не пересекает мнимую ось. Это предположение обеспечивает существование ограниченного на  $\mathbb{R}$  выхода  $y$  при любом ограниченном входе  $u$ . Ограниченное решение строится в виде специальной аналитической функции от матрицы  $A$ . Описывается модификация метода сбалансированного обрезания. Метод основан на построении замены переменных  $T$ , превращающей грамианы достижимости и наблюдаемости исходной системы в одну и ту же диагональную матрицу. Этот метод позволяет приблизить функцию Грина исходной системы функцией Грина системы, в которой порядок матрицы  $A$  существенно меньше. Приводится численный пример, иллюстрирующий эффективность метода.

**Ключевые слова:** задача об ограниченных решениях, функциональное исчисление, функция Грина, сбалансированное обрезание, грамиан.

## THE METHOD OF BALANCED TRUNCATION FOR THE BOUNDED SOLUTIONS PROBLEM

E. G. Belomytseva, V. G. Kurbatov, E. B. Tulenko

**Abstract.** We investigate the system

$$\begin{aligned}x'(t) &= Ax(t) + bu(t), \\y(t) &= cx(t) + du(t).\end{aligned}$$

under the assumption that the spectrum of the matrix  $A$  does not intersect the imaginary axis. This assumption ensures the existence of a bounded output  $y$  for every bounded input  $u$ . A modification of the method of balanced truncation is described. The method is based on the change  $T$  of variables that turns the reachability and observability gramians into the same diagonal matrix. The method allows one to approximate Green's function of the initial system by Green's function of a system in which the order of the matrix  $A$  is essentially smaller. A numerical example that illustrates the effectiveness of the method is given.

**Keywords:** bounded solutions problem, functional calculus, Green's function, functional calculus, balanced truncation, gramian.

Рассмотрим линейную стационарную систему, динамика которой описывается уравнениями

$$\begin{aligned}x'(t) &= Ax(t) + bu(t), \\y(t) &= cx(t) + du(t).\end{aligned}$$

\* Работа поддержана Министерством образования и науки РФ, государственное задание № 3.1761.2017/ПЧ.

© Беломытцева Е. Г., Курбатов В. Г., Туленко Е. Б., 2018

Здесь  $A$  — квадратная матрица,  $b$  — матрица-столбец,  $c$  — матрица-строка, а  $d$  — число. Функция  $u$  имеет смысл входного сигнала, функция  $y$  — выходного, а вектор  $x(t)$  — внутреннего состояния. Например, если уравнение  $x'(t) = Ax(t)$  описывает работу радиосхемы, то  $b$  соответствует контактам, через которые подается входной сигнал  $u$  (напряжение или ток), а  $c$  — контактам, с которых снимается выходной сигнал  $y$ .

Предполагается, что порядок  $N$  матрицы  $A$  достаточно велик, в силу чего прямое использование этих уравнений приводит к большим затратам компьютерного времени и памяти.

С другой стороны, для больших систем часто оказывается, что полная модель является избыточной в том смысле, что некоторые ее части с рассматриваемыми входом и выходом связаны слабо. В этом случае разумно перейти к модели меньшего порядка, описывающей ту же систему приближенно. Такой переход называют *понижением порядка* (order reduction).

Понижение порядка можно осуществлять как из физических соображений, путем выявления физических процессов, которые в данной задаче малосущественны, так и чисто математическими методами путем анализа связи между  $u$ ,  $y$  и  $x$ . Методам второго типа посвящены работы [15], [16], [19], [25], [26] и многие другие. Настоящая статья посвящена одному из таких методов — методу сбалансированного обрезания (balanced truncation) [22], [15], [19], [24].

В отличие от работ [22], [15], [19] мы применяем метод сбалансированного обрезания не к устойчивой начальной задаче, а к задаче об ограниченных решениях, т. е. по сути к обратному к дифференциальному оператору, рассматриваемому на действительной оси. Напомним, что *задачей об ограниченных решениях* называют [1], [3], [5], [6], [8], [9], [10], [11], [12], [14], [17] поиск ограниченного на  $\mathbb{R}$  выхода  $y$ , соответствующего ограниченному на  $\mathbb{R}$  входу  $u$ ; предполагается, что спектр матрицы  $A$  не пересекает мнимую ось. Отметим также работы [28], [18], в которых метод сбалансированного обрезания применяется к неустойчивым системам.

Другая, чисто математическая, интерпретация рассматриваемой в статье задачи состоит в следующем. Предположим, что спектр матрицы  $A$  не пересекает мнимую ось. Тогда, как известно (см. ниже теорему 3), дифференциальное уравнение

$$x'(t) = Ax(t) + f(t), \quad t \in \mathbb{R},$$

имеет единственное ограниченное решение  $x$  при любом ограниченном свободном члене  $f$ . При этом решение допускает представление

$$x(t) = \int_{-\infty}^{\infty} \mathcal{G}(s)f(t-s) ds.$$

Матричнозначную функцию  $\mathcal{G}$  называют *функцией Грина* задачи об ограниченных решениях. Предположим, нас интересует только одна компонента  $\mathcal{G}_{ij}$  функции Грина. В работе описывается модификация метода сбалансированного обрезания, позволяющая приблизить  $\mathcal{G}_{ij}$  компонентой  $\widehat{\mathcal{G}}_{i'j'}$  функции Грина уравнения

$$\widehat{x}'(t) = \widehat{A}x(t) + \widehat{f}(t), \quad t \in \mathbb{R},$$

в котором матрица  $\widehat{A}$  имеет существенно меньший порядок, чем матрица  $A$ .

## 1. ФУНКЦИИ ОТ МАТРИЦ

Пусть  $N \in \mathbb{N}$ . Элементы пространства  $\mathbb{C}^N$  будем представлять себе как матрицы-столбцы. Пространство  $\mathbb{C}^N$  будем рассматривать с евклидовой нормой  $|\cdot|$  и порождающим ее скалярным произведением  $\langle \cdot, \cdot \rangle$ . Символом  $\mathbb{C}^{N \times N}$  будем обозначать множество всех матриц размера  $N \times N$ . Символами  $x^H$  и  $A^H$  будем обозначать транспонированные комплексно сопряженные матрицы;  $A^{-H}$  означает обратную к квадратной матрице  $A^H$ ; для  $b \in \mathbb{C}^N$  матрица  $b^H$  является строкой.

Будем обозначать символом  $\mathbf{1}$  единичную матрицу. Пусть  $A \in \mathbb{C}^{N \times N}$ . Многочлен

$$p(\lambda) = \det(\lambda \mathbf{1} - A)$$

называют *характеристическим многочленом* матрицы  $A$ . Полный набор  $\sigma(A)$  корней характеристического многочлена называют [13] *спектром* матрицы  $A$ .

Пусть  $U \subseteq \mathbb{C}$  — открытое множество, содержащее  $\sigma(A)$ , а  $f : U \rightarrow \mathbb{C}$  — аналитическая функция. *Функцию  $f$  от матрицы  $A$*  определяют [13, гл. V, § 1], [5, р. 17] по формуле

$$f(A) = \frac{1}{2\pi i} \int_{\Gamma} f(\lambda)(\lambda \mathbf{1} - A)^{-1} d\lambda,$$

где контур  $\Gamma$  окружает  $\sigma(A)$ .

**Предложение 1** ([13, теорема 5.2.5]). *Отображение  $f \mapsto f(A)$  сохраняет алгебраические операции:*

$$\begin{aligned} (f + g)(A) &= f(A) + g(A), \\ (\alpha f)(A) &= \alpha f(A), \\ (fg)(A) &= f(A)g(A), \end{aligned}$$

где операции  $f + g$ ,  $\alpha f$  и  $fg$  понимаются поточечно.

## 2. ОПРЕДЕЛЕНИЕ ДИНАМИЧЕСКОЙ СИСТЕМЫ

*Динамической системой* (точнее, математической моделью непрерывной линейной стационарной динамической системы с одним входом и одним выходом) называют [15], [23] систему уравнений

$$\begin{aligned} x'(t) &= Ax(t) + bu(t), \\ y(t) &= cx(t) + du(t). \end{aligned} \tag{1}$$

Здесь  $A \in \mathbb{C}^{N \times N}$ ,  $b, c^H \in \mathbb{C}^N$  — заданные матрицы (тем самым  $c$  — матрица-строка), а  $d \in \mathbb{C}$ . Функция  $u$  имеет смысл входного сигнала, функция  $y$  — выходного, а вектор  $x(t)$  — внутреннего состояния. Число  $N$  называют *порядком* или *размерностью фазового пространства* динамической системы.

С точки зрения прикладной интерпретации постановка задачи (1) означает следующее. Дифференциальное уравнение  $x'(t) = Ax(t) + f(t)$  описывает систему, состоящую из многих объектов; координаты пространства  $\mathbb{C}^N$  соответствуют параметрам (состояниям) разных объектов (например, система представляет собой радиосхему; составляющие объекты — резисторы, конденсаторы и катушки индуктивности; параметры объектов — токи и напряжения). Управление системой осуществляется посредством изменения одного параметра; ему соответствует вектор  $b$ ; иными словами, входной сигнал  $u$  меняет только этот параметр (например,  $u$  — это входное напряжение или входной ток, а  $b$  описывает контакты, к которым входной сигнал  $u$  приложен). Нас интересует изменение также только одного параметра; ему соответствует функционал  $c$  (например, это напряжение на двух других контактах).

Понятно, что динамическая система полностью определяется заданием  $A$ ,  $b$ ,  $c$  и  $d$ . Поэтому информацию о ней удобно сокращенно записывать в виде блочной матрицы

$$\Xi = \left( \begin{array}{c|c} A & b \\ \hline c & d \end{array} \right), \tag{2}$$

которую называют [15, с. 64] *фазовым представлением* (state space description) системы (1).

Полезно отметить следующую теорему.

**Теорема 2** ([15, с. 65]). Явная зависимость выхода  $y$  от входа  $u$  и системы (1) при наличии начального условия

$$x(t_0) = x_0 \quad (3)$$

задается формулой

$$y(t) = c \left( e^{A(t-t_0)} x_0 + \int_{t_0}^t e^{A(t-r)} b u(r) dr \right) + d u(t).$$

### 3. ЗАДАЧА ОБ ОГРАНИЧЕННЫХ РЕШЕНИЯХ

Для  $\lambda \in \mathbb{C}$  и  $t \in \mathbb{R}$ ,  $t \neq 0$ , рассмотрим функции

$$\begin{aligned} \exp_{+,t}(\lambda) &= \begin{cases} e^{\lambda t}, & \text{если } t > 0, \\ 0, & \text{если } t < 0, \end{cases} \\ \exp_{-,t}(\lambda) &= \begin{cases} 0, & \text{если } t > 0, \\ -e^{\lambda t}, & \text{если } t < 0, \end{cases} \\ g_t(\lambda) &= \begin{cases} \exp_{-,t}(\lambda), & \text{если } \operatorname{Re} \lambda > 0, \\ \exp_{+,t}(\lambda), & \text{если } \operatorname{Re} \lambda < 0. \end{cases} \end{aligned}$$

Функция  $g_t$  не определена при  $\operatorname{Re} \lambda = 0$ . При любом фиксированном  $t \neq 0$  эти три функции являются аналитическими по  $\lambda$  на своей области определения.

Обозначим через  $C = C(\mathbb{R}, \mathbb{C}^N)$  банахово пространство всех непрерывных ограниченных функций  $f : \mathbb{R} \rightarrow \mathbb{C}^N$  с нормой  $\|f\| = \|f\|_C = \sup_{t \in \mathbb{R}} |x(t)|$ . Обозначим через  $C^1 = C^1(\mathbb{R}, \mathbb{C}^N)$  банахово пространство всех непрерывно дифференцируемых функций  $x : \mathbb{R} \rightarrow \mathbb{C}^N$ , ограниченных вместе с производной, с нормой  $\|x\| = \|x\|_{C^1} = \|x'\|_C + \|x\|_C$ . Рассмотрим дифференциальное уравнение (на всей действительной оси  $\mathbb{R}$ )

$$x'(t) = Ax(t) + f(t), \quad t \in \mathbb{R}. \quad (4)$$

Задачей об ограниченных решениях для уравнения (4) называют [5], [6], [3], [11], [12], [8], [9] задачу о нахождении решения  $x \in C^1(\mathbb{R}, \mathbb{C}^N)$ , соответствующего  $f \in C(\mathbb{R}, \mathbb{C}^N)$ . Задачей об ограниченных решениях для динамической системы (1) будем называть задачу о нахождении решения  $y \in C^1(\mathbb{R}, \mathbb{C})$ , соответствующего  $u \in C(\mathbb{R}, \mathbb{C})$ .

**Теорема 3** ([5, теорема 4.1, с. 81]). Уравнение (4) имеет единственное решение  $x \in C^1(\mathbb{R}, \mathbb{C}^N)$  для любой  $f \in C(\mathbb{R}, \mathbb{C}^N)$  тогда и только тогда, когда спектр  $\sigma(A)$  матрицы  $A$  не пересекает мнимую ось. Это решение допускает представление

$$x(t) = \int_{-\infty}^{\infty} \mathcal{G}(s) f(t-s) ds,$$

где

$$\mathcal{G}(t) = g_t(A), \quad t \neq 0.$$

Функцию  $\mathcal{G}$  называют [5] функцией Грина задачи об ограниченных решениях для уравнения (4).

**Следствие 4.** Пусть спектр  $\sigma(A)$  матрицы  $A$  не пересекает мнимую ось. Тогда при любой  $u \in C(\mathbb{R}, \mathbb{C})$  система (1) имеет решение  $y \in C^1(\mathbb{R}, \mathbb{C})$ , задаваемое формулой

$$x(t) = c \left( \int_{-\infty}^{\infty} \mathcal{G}(s) b u(t-s) ds \right) + d u(t),$$

или

$$x(t) = \int_{-\infty}^{\infty} G(s) u(t-s) ds + d u(t),$$

где

$$G(t) = c \mathcal{G}(t) b, \quad t \neq 0.$$

#### 4. ГРАМИАНЫ ДОСТИЖИМОСТИ И НАБЛЮДАЕМОСТИ

В дальнейшем будем считать, что спектр матрицы  $A$  не пересекает мнимую ось. В нашем изложении важную роль будут играть матрицы

$$\begin{aligned} \mathcal{P} &= \int_{-\infty}^{\infty} \mathcal{G}(s) b b^H \mathcal{G}(s)^H ds, \\ \mathcal{Q} &= \int_{-\infty}^{\infty} \mathcal{G}(s)^H c^H c \mathcal{G}(s) ds, \end{aligned} \tag{5}$$

имеющие размер  $N \times N$ . Их аналоги для случая начальной задачи называют [15] *грамианами достижимости и наблюдаемости* (reachability and observability gramians) соответственно. Сохраним те же названия.

**Предложение 5.** Грамианы (5) являются эрмитовыми и неотрицательно определенными матрицами.

*Доказательство.* Для любого  $x \in \mathbb{C}^N$  имеем

$$\langle \mathcal{P}x, x \rangle = \left\langle \int_{-\infty}^{\infty} \mathcal{G}(s) b b^H \mathcal{G}(s)^H x ds, x \right\rangle = \int_{-\infty}^{\infty} x^H \mathcal{G}(s) b b^H \mathcal{G}(s)^H x ds. \tag{6}$$

Заметим, что  $x^H \mathcal{G}(s) b$  — комплексное число, а  $b^H \mathcal{G}(s)^H x$  — сопряженное к нему. Поэтому подынтегральное выражение неотрицательно. Следовательно, матрица  $\mathcal{P}$  неотрицательно определена. Остается напомнить [2, 10.44], что всякая неотрицательно определенная матрица является эрмитовой.

Случай матрицы  $\mathcal{Q}$  аналогичным образом вытекает из представления

$$\langle \mathcal{Q}x, x \rangle = \left\langle \int_{-\infty}^{\infty} \mathcal{G}(s)^H c^H c \mathcal{G}(s) x ds, x \right\rangle = \int_{-\infty}^{\infty} x^H \mathcal{G}(s)^H c^H c \mathcal{G}(s) x ds. \quad \square$$

*Замечание 6.* Не вникая в подробности [15], отметим, что квадратичные формы  $x \mapsto \langle \mathcal{P}x, x \rangle$  и  $x \mapsto \langle \mathcal{Q}x, x \rangle$  показывают, насколько сильно фазовое состояние  $x$  связано с векторами входа  $b$  и выхода  $c$ . При уменьшении размерности фазового вектора  $x$  (см. § 6) разумно в первую очередь отрезать те части, которые слабо связаны как с  $b$ , так и с  $c$ . Обрезание называют сбалансированным, если учет  $b$  и  $c$  является равноправным. Ниже это достигается путем подбора замены  $T$ , которая превращает оба грамиана  $\mathcal{P}$  и  $\mathcal{Q}$  в одну и ту же матрицу  $\Sigma$ .

## 5. ЗАМЕНА ПЕРЕМЕННЫХ В ФАЗОВОМ ПРОСТРАНСТВЕ ДИНАМИЧЕСКОЙ СИСТЕМЫ

Пусть  $T \in \mathbb{C}^{N \times N}$  — обратимая матрица. Сделаем в уравнениях (1) замену

$$\hat{x} = Tx, \quad x = T^{-1}\hat{x}. \quad (7)$$

В результате такой замены уравнения (1) принимают вид

$$\begin{aligned} T^{-1}\hat{x}'(t) &= AT^{-1}\hat{x}(t) + bu(t), \\ y(t) &= cT^{-1}\hat{x}(t) + du(t). \end{aligned}$$

После умножения первого уравнения на  $T$  приходим к уравнениям

$$\begin{aligned} \hat{x}'(t) &= TAT^{-1}\hat{x}(t) + Tbu(t), \\ y(t) &= cT^{-1}\hat{x}(t) + du(t). \end{aligned}$$

Понятно, что эти уравнения задают ту же зависимость  $y$  от  $u$ , что и уравнения (1). Таким образом, доказано следующее утверждение.

**Теорема 7** ([20, предложение 6.1]). *Пусть  $T \in \mathbb{C}^{N \times N}$  — произвольная обратимая матрица. Тогда система с фазовым представлением (2) эквивалентна (в том смысле, что задает ту же зависимость  $y$  от  $u$ ) системе с фазовым представлением*

$$\begin{pmatrix} \tilde{A} & \tilde{b} \\ \tilde{c} & d \end{pmatrix} = \left( \begin{array}{c|c} TAT^{-1} & Tb \\ \hline cT^{-1} & d \end{array} \right). \quad (8)$$

При этом начальное условие (3), очевидно, заменяется на

$$\tilde{x}(t_0) = Tx_0.$$

Функции Грина, соответствующую системе (8), будем обозначать символами  $\tilde{\mathcal{G}}$  и  $\tilde{G}$ , а соответствующие грамианы — символами  $\tilde{\mathcal{P}}$  и  $\tilde{Q}$ .

**Предложение 8.** *В результате замены (7) грамианы преобразуются по формулам:*

$$\tilde{\mathcal{P}} = T\mathcal{P}T^H, \quad \tilde{Q} = T^{-H}QT^{-1}.$$

*Доказательство.* В силу равенства  $\tilde{A} = TAT^{-1}$  имеем

$$\tilde{\mathcal{G}}(s) = T\mathcal{G}(s)T^{-1}, \quad \tilde{\mathcal{G}}(s)^H = T^{-H}\mathcal{G}(s)^HT^H. \quad (9)$$

Умножая определения (5) на  $T$ ,  $T^H$  и обратные к ним с подходящих сторон, получаем

$$\begin{aligned} T\mathcal{P}T^H &= \int_{-\infty}^{\infty} T\mathcal{G}(s)bb^H\mathcal{G}(s)^HT^H ds, \\ T^{-H}QT^{-1} &= \int_{-\infty}^{\infty} T^{-H}\mathcal{G}(s)^Hc^Hc\mathcal{G}(s)T^{-1} ds. \end{aligned}$$

Или

$$\begin{aligned} TPT^H &= \int_{-\infty}^{\infty} T\mathcal{G}(s)T^{-1}Tbb^HT^HT^{-H}\mathcal{G}(s)^HT^H ds, \\ T^{-H}QT^{-1} &= \int_{-\infty}^{\infty} T^{-H}\mathcal{G}(s)^HT^HT^{-H}c^HcT^{-1}T\mathcal{G}(s)T^{-1} ds. \end{aligned}$$

Воспользуемся равенствами (9):

$$\begin{aligned} TPT^H &= \int_{-\infty}^{\infty} \tilde{\mathcal{G}}(s)Tbb^HT^H\tilde{\mathcal{G}}(s)^H ds, \\ T^{-H}QT^{-1} &= \int_{-\infty}^{\infty} \tilde{\mathcal{G}}(s)^HT^{-H}c^HcT^{-1}\tilde{\mathcal{G}}(s) ds. \end{aligned}$$

Наконец, воспользуемся тождествами  $\tilde{b} = Tb$  и  $\tilde{c} = cT^{-1}$  из формулы (8):

$$\begin{aligned} TPT^H &= \int_{-\infty}^{\infty} \tilde{\mathcal{G}}(s)\tilde{b}\tilde{b}^H\tilde{\mathcal{G}}(s)^H ds, \\ T^{-H}QT^{-1} &= \int_{-\infty}^{\infty} \tilde{\mathcal{G}}(s)^H\tilde{c}^H\tilde{c}\tilde{\mathcal{G}}(s) ds. \quad \square \end{aligned}$$

## 6. ПРОЕКЦИОННЫЙ МЕТОД ПОНИЖЕНИЯ ПОРЯДКА

Если по причине большой размерности  $N$  фазового пространства  $\mathbb{C}^N$  решение системы (1) требует необоснованно больших затрат ресурсов (памяти и быстродействия), то строят приближенную модель, которая использует фазовое пространство  $\mathbb{C}^n$  существенно меньшей размерности  $n$ . На физическом уровне подобный переход обычно означает, что из модели исключают учет некоторых физических явлений, которые по тем или иным соображениям являются малосущественными. На математическом уровне это сводится к замене матрицы  $A$  матрицей  $\hat{A}$  так, чтобы решение  $y$  системы (1) изменилось незначительно. Тем самым, мы приходим к следующему понятию.

*Системой пониженного порядка* (reduced order system) по отношению к системе (1) называют [15], [25], [26] систему

$$\begin{aligned} \hat{x}'(t) &= \hat{A}\hat{x}(t) + \hat{b}u(t), \\ \hat{y}(t) &= \hat{c}\hat{x}(t) + du(t), \end{aligned} \tag{10}$$

в которой порядок  $n$  матрицы  $\hat{A}$  значительно меньше порядка  $N$  матрицы  $A$ , но решение  $\hat{y}$  близко к решению  $y$  системы (1).

Метод построения системы (10) называют *проекционным*, если коэффициенты  $\hat{A}$ ,  $\hat{b}$  и  $\hat{c}$  в системе пониженного порядка (10) выражаются через коэффициенты исходной системы (1) по формулам

$$\begin{aligned} \hat{A} &= \Lambda AV, \\ \hat{b} &= \Lambda b, \\ \hat{c} &= cV, \end{aligned} \tag{11}$$

где  $V \in \mathbb{C}^{N \times n}$ , а  $\Lambda \in \mathbb{C}^{n \times N}$ . Коэффициенты системы (10) принято записывать в виде матрицы

$$\hat{\Xi} = \left( \frac{\Lambda \hat{A} \Lambda^H}{\hat{c} V} \mid \frac{\Lambda \hat{b}}{d} \right).$$

Идею проекционных методов обычно связывают с именем Галеркина<sup>1)</sup>.

Из технических соображений будем всегда предполагать, что выполнено *условие нормировки*

$$\Lambda V = \mathbf{1}_{n \times n}, \quad (12)$$

где  $\mathbf{1}_{n \times n}$  — единичная матрица размера  $n \times n$ . Более того, обычно мы будем предполагать, что выполнено более сильное условие (13) из следующего предложения.

**Предложение 9.** Пусть столбцы матрицы  $V$  ортонормированы и матрица  $\Lambda$  определена по формуле<sup>2)</sup>

$$\Lambda = V^H. \quad (13)$$

Тогда условие (12) выполнено, а строки матрицы  $\Lambda$  также ортонормированы. Кроме того, матрица  $V\Lambda \in \mathbb{C}^{N \times N}$  задает ортогональный проектор  $P$  на линейную оболочку столбцов матрицы  $V$ . И обратно, всякий ортогональный проектор  $P$  задается таким образом.

*Доказательство.* Доказательство очевидно. □

## 7. АЛГОРИТМ СБАЛАНСИРОВАННОГО ОБРЕЗАНИЯ

Понятно, что качество приближения посредством системы (10) принципиально зависит от выбора матриц  $V$  и  $\Lambda$ . По смыслу эти матрицы отрезают от фазового вектора  $x$  некоторые координаты. В настоящем параграфе описывается модификация метода сбалансированного обрезания (balanced truncation) [22], [15], [19], обычно применяемого для построения системы пониженного порядка с устойчивой матрицей  $A$ .

Представим матрицы  $\mathcal{P}$  и  $\mathcal{Q}$  в виде [15, с. 210]

$$\mathcal{P} = U U^H, \quad U^H \mathcal{Q} U = K \Sigma^2 K^H, \quad (14)$$

где первая формула — это разложение Холецкого [2], [4] матрицы  $\mathcal{P}$ , а вторая — результат приведения самосопряженной, неотрицательно определенной матрицы  $U^H \mathcal{Q} U$  к диагональному виду с помощью унитарного преобразования  $K$ ; в пакете “Математика” [27], [7] обе эти процедуры реализованы в виде отдельных команд. Таким образом,  $U$  — верхне-треугольная матрица,  $K$  — унитарная, а  $\Sigma$  — диагональная неотрицательно определенная.

*Замечание 10.* Из (14) видно разложение Холецкого и для  $\mathcal{Q}$ :

$$\mathcal{Q} = (U K \Sigma)(U K \Sigma)^H.$$

Определим матрицу  $T$  по формуле [15, с. 210]

$$T = \Sigma^{1/2} K^H U^H. \quad (15)$$

При этом, очевидно,

$$T^{-1} = U K \Sigma^{-1/2}.$$

---

<sup>1)</sup> Строго говоря, в методе Галеркина рассматривается алгебраическое уравнение  $Ax = f$ , а не дифференциальное и обсуждается последовательность уравнений пониженного порядка.

<sup>2)</sup> В случае выполнения этого условия метод обычно называют методом Бубнова–Галеркина.



Выполним в системе (1) замену (15). В результате возникнет система с матрицей

$$\begin{pmatrix} \tilde{A} & \tilde{b} \\ \tilde{c} & d \end{pmatrix} = \left( \begin{array}{c|c} TAT^{-1} & Tb \\ \hline cT^{-1} & d \end{array} \right) = \left( \begin{array}{c|c} \Sigma^{1/2}K^H U^H AUK\Sigma^{-1/2} & \Sigma^{1/2}K^H U^H b \\ \hline cUK\Sigma^{-1/2} & d \end{array} \right).$$

**Теорема 11.** После выполнения замены (15) оба грамиана совпадают с матрицей  $\Sigma$ :

$$\tilde{\mathcal{P}} = \Sigma, \quad \tilde{\mathcal{Q}} = \Sigma.$$

*Доказательство.* В силу предложения 8 имеем

$$\tilde{\mathcal{P}} = T\mathcal{P}T^H, \quad \tilde{\mathcal{Q}} = (T^{-1})^H \mathcal{Q}T^{-1}.$$

Подставим сюда вместо  $T$  представление (15):

$$\tilde{\mathcal{P}} = \Sigma^{1/2}K^H U^{-1}\mathcal{P}(U^{-1})^H K\Sigma^{1/2}, \quad \tilde{\mathcal{Q}} = \Sigma^{-1/2}K^H U^H \mathcal{Q}UK\Sigma^{-1/2}.$$

Наконец, подставим сюда формулы (14):

$$\tilde{\mathcal{P}} = \Sigma^{1/2}K^H U^{-1}UU^H(U^{-1})^H K\Sigma^{1/2}, \quad \tilde{\mathcal{Q}} = \Sigma^{-1/2}K^H K\Sigma^2 K^H K\Sigma^{-1/2}.$$

После очевидных сокращений получаются нужные формулы.  $\square$

Преобразование системы, при котором грамианы становятся одинаковыми, называют [22], [15], [19] *балансированием*. Целесообразность балансирования объяснялась выше в замечании 6.

Возьмем произвольное натуральное число  $n < N$ . По смыслу  $n$  существенно меньше  $N$ . Рассмотрим матрицу  $\Lambda \in \mathbb{C}^{n \times N}$  ортогонального проектирования на первые  $n$  координат:

$$\Lambda = \begin{pmatrix} 1 & 0 & \dots & 0 & 0 & \dots & 0 \\ 0 & 1 & \dots & 0 & 0 & \dots & 0 \\ \vdots & \vdots & \ddots & \vdots & \vdots & \ddots & \vdots \\ 0 & 0 & \dots & 0 & 1 & \dots & 0 \end{pmatrix}.$$

При этом

$$\Lambda^H = \begin{pmatrix} 1 & 0 & \dots & 0 \\ 0 & 1 & \dots & 0 \\ \vdots & \vdots & \ddots & \vdots \\ 0 & 0 & \dots & 1 \\ 0 & 0 & \dots & 0 \\ \vdots & \vdots & \ddots & \vdots \\ 0 & 0 & \dots & 0 \end{pmatrix}.$$

Систему пониженного порядка (11), соответствующую фазовому представлению

$$\left( \begin{array}{c|c} \Lambda\tilde{A}\Lambda^H & \Lambda\tilde{b} \\ \hline \tilde{c}\Lambda^H & d \end{array} \right) = \left( \begin{array}{c|c} \Lambda\Sigma^{1/2}K^H U^H AUK\Sigma^{-1/2}\Lambda^H & \Lambda\Sigma^{1/2}K^H U^H b \\ \hline cUK\Sigma^{-1/2}\Lambda^H & d \end{array} \right), \quad (16)$$

называют системой, полученной в результате *сбалансированного обрезания* исходной системы (1).

## 8. ЧИСЛЕННЫЙ ПРИМЕР

Численный эксперимент проводился средствами пакета “Математика” [27], [7]. Было взято число  $N = 30$  и сформирована матрица  $A$  размера  $N \times N$ , состоящая из случайных

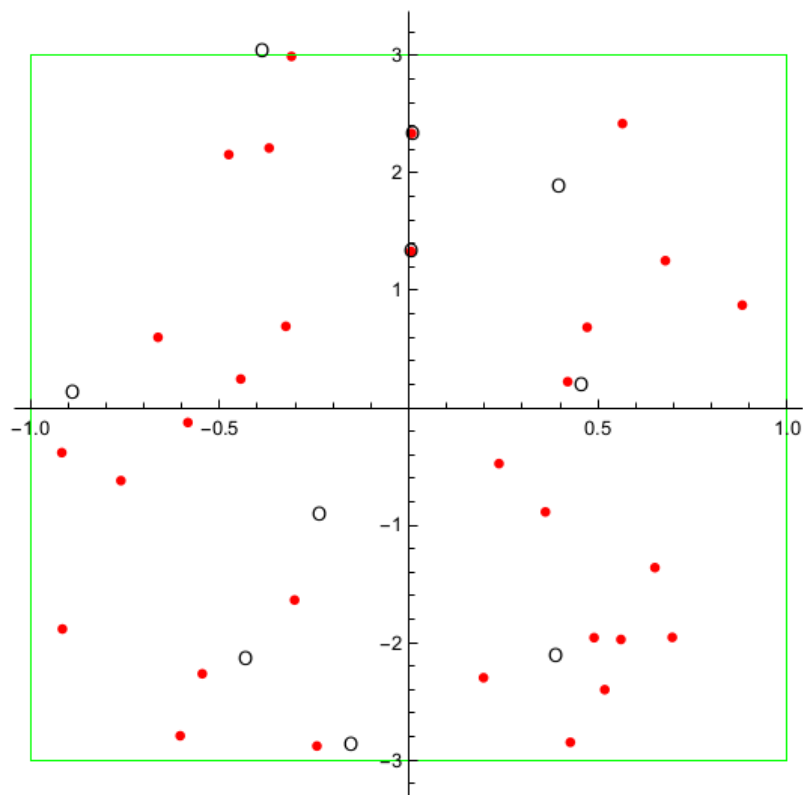


Рис. 1. Спектры матриц  $A$  (показаны точками) и  $\hat{A} = \Lambda \tilde{A} \Lambda^H$  (показаны кружками)

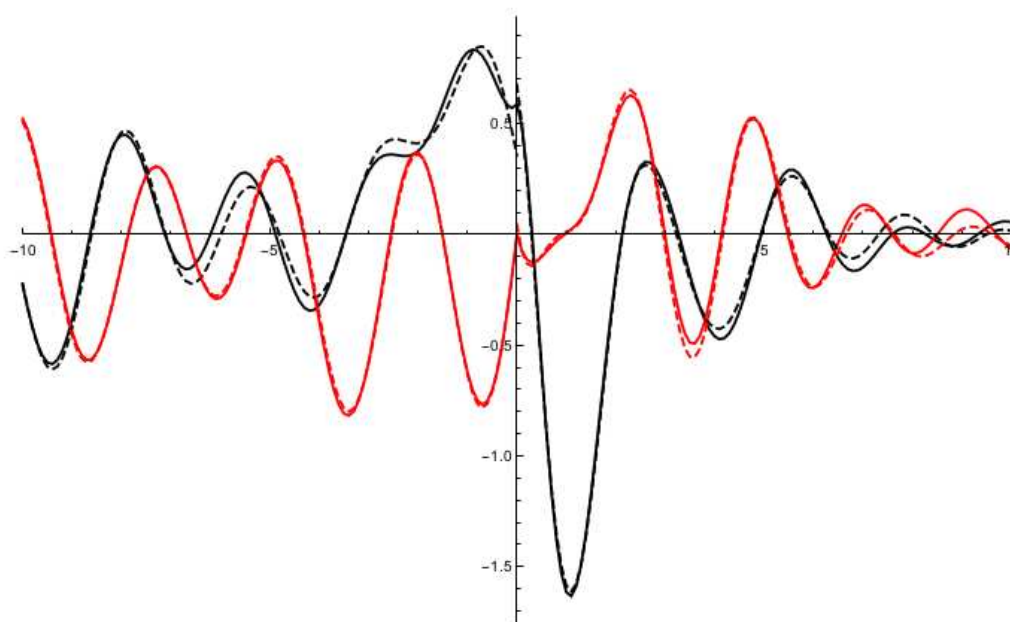


Рис. 2. Функции Грина систем (1) (действительная часть показана темной сплошной линией, а мнимая — бледной сплошной линией) и (10) (действительная часть показана темной пунктирной линией, а мнимая — бледной пунктирной линией)

комплексных чисел, спектр которой содержится (равномерно распределен) в прямоугольнике  $[-1,1] \times [-3i,3i]$ . Матрицы  $b$  и  $c$  также составлены из случайных чисел, в качестве  $d$  взята ноль. Методом работы [21] была найдена функция Грина  $\mathcal{G}$  уравнения (4), а затем с помощью следствия 4 — функция Грина системы (1). Стандартными командами пакета “Математика” были построены разложения (14), вычислена матрица (15) и выполнена соответствующая замена переменных. В качестве  $n$  было взято число 10, построена система (16) пониженного порядка, найдены спектр матрицы  $\hat{A}$  и функция Грина  $\hat{\mathcal{G}}$  новой системы (10). Результаты вычислений показаны на рис. 1 и 2.

## СПИСОК ЛИТЕРАТУРЫ

1. Баскаков, А. Г. Оценки функции Грина и параметров экспоненциальной дихотомии гиперболической полугруппы операторов и линейных отношений / А. Г. Баскаков // Математ. сб. — 2015. — Т. 206, № 8. — С. 1049–1086.
2. Воеводин, В. В. Матрицы и вычисления / В. В. Воеводин, Ю. А. Кузнецов. — М. : Наука, 1984. — 320 с.
3. Годунов, С. К. Обыкновенные дифференциальные уравнения с постоянными коэффициентами : учебное пособие. Т. 1: Краевые задачи / С. К. Годунов. — Новосибирск : Издательство Новосибирского университета, 1994. — 264 с.
4. Голуб, Д. Матричные вычисления / Дж. Голуб, Ч. Ван Лоун. — М. : Мир, 1999. — 548 с.
5. Далецкий, Ю. Л. Устойчивость решений дифференциальных уравнений в банаховом пространстве / Ю. Л. Далецкий, М. Г. Крейн. Нелинейный анализ и его приложения. — М. : Наука, 1970. — 536 с.
6. Демидович, Б. П. Лекции по математической теории устойчивости / Б. П. Демидович. — М. : Наука, 1967. — 472 с.
7. Курбатов, В. Г. Пакет “Математика” в прикладных научных исследованиях : учебное пособие / В. Г. Курбатов, В. Е. Чернов. — Воронеж : Издательский дом ВГУ, 2016. — 240 с.
8. Массера, Х. Л. Линейные дифференциальные уравнения и функциональные пространства / Х. Л. Массера, Х. Х. Шеффер. — М. : Мир, 1970. — 456 с.
9. Панков, А. А. Ограниченные и почти периодические решения нелинейных дифференциально-операторных уравнений / А. А. Панков. — Киев : Наукова думка, 1985. — 182 с.
10. Печуров, А. В. Бисекториальные операторные пучки и задача об ограниченных решениях / А. В. Печуров // Известия вузов. Математика. — 2012. — № 3. — С. 31–41.
11. Харман, Ф. Обыкновенные дифференциальные уравнения / Ф. Харман. — М. : Мир, 1970. — 720 с.
12. Хенри, Д. Геометрическая теория полулинейных параболических уравнений / Д. Хенри. — М. : Мир, 1985. — 376 с.
13. Хилле, Э. Функциональный анализ и полугруппы / Э. Хилле, Р. Филлипс. — М. : ИЛ, 1962. — 829 с.
14. Akhmerov, R. R. Exponential dichotomy and stability of neutral type equations / R. R. Akhmerov, V. G. Kurbatov // J. Differential Equations. — 1988. — V. 76, № 1. — P. 1–25.
15. Antoulas, A. C. Approximation of large-scale dynamical systems / A. C. Antoulas. — Philadelphia, PA : Society for Industrial and Applied Mathematics (SIAM), 2005. — 479 p
16. Benner, P. A survey of projection-based model reduction methods for parametric dynamical systems / P. Benner, S. Gugercin, K. Willcox // SIAM Rev. — 2015. — V. 57, № 4. — P. 483–531.
17. Boichuk, A. A. Bounded solutions of linear differential equations in a Banach space / A. A. Boichuk, A. A. Pokutnii // Nonlinear Oscillations. — 2006. — V. 9, № 1. — P. 3–14.
18. Flinois, T. L. B. Projection-free approximate balanced truncation of large unstable systems / T. L. B. Flinois, A. S. Morgans, P. J. Schmid // Phys. Rev. E (3). — 2015. — V. 92, № 2. —

P. 023012, 20.

19. Gugercin, S. A survey of model reduction by balanced truncation and some new results / S. Gugercin, A. C. Antoulas // *Internat. J. Control.* — 2004. — V. 77, № 8. — P. 748–766.

20. Kurbatov, V. G. Krylov subspace methods of approximate solving differential equations from the point of view of functional calculus / V. G. Kurbatov, I. V. Kurbatova // *Eurasian Math. J.* — 2012. — V. 3, № 4. — P. 53–80.

21. Kurbatov, V. G. Computation of Green's function of the bounded solutions problem / V. G. Kurbatov, I. V. Kurbatova // *Computational Methods in Applied Mathematics.* — Published Online 2017-10-12. — <https://doi.org/10.1515/cmam-2017-0042>.

22. Moore, B. C. Principal component analysis in linear systems: controllability, observability, and model reduction / B. C. Moore // *IEEE Trans. Automat. Control.* — 1981. — V. 26, № 1. — P. 17–32.

23. Polderman, J. W. Introduction to mathematical systems theory / J. W. Polderman, J. C. Willems. — New York : Springer-Verlag, 1998. — 424 p.

24. Reis, T. Balanced truncation model reduction of second-order systems / T. Reis, T. Stykel // *Math. Comput. Model. Dyn. Syst.* — 2008. — V. 14, № 5. — P. 391–406.

25. Simoncini, V. Recent computational developments in Krylov subspace methods for linear systems / V. Simoncini, D. B. Szyld // *Numer. Linear Algebra Appl.* — 2007. — V. 14, № 1. — P. 1–59.

26. van der Vorst, H. A. Iterative Krylov methods for large linear systems / H. A. van der Vorst. — Cambridge : Cambridge University Press, 2003. 221 p.

27. Wolfram, S. An Elementary Introduction to the Wolfram Language / S. Wolfram. — Champaign, IL : Wolfram Media, 2017. — 339 p.

28. Zhou, K. Balanced realization and model reduction for unstable systems / K. Zhou, G. Salomon, E. Wu // *Internat. J. Robust Nonlinear Control.* — 1999. — V. 9, № 3. — P. 183–198.

## REFERENCES

1. Baskakov, A.G. Estimates for the Green's function and parameters of exponential dichotomy of a hyperbolic operator semigroup and linear relations. [Baskakov A.G. Ocenki funkcii Grina i parametrov eksponencial'noy dioxotomii giperbolicheskoy polugruppy operatorov i lineynyx otnosheniy]. *Matematicheskij sbornik — Sbornik: Mathematics*, 2015, vol. 206, no. 8, pp. 1049–1086.

2. Voevodin V.V., Kuznetsov Yu. A. Matrices and computations. [Voevodin V.V., Kuznetsov Yu.A. Matricy i vychisleniya]. Moscow: Nauka, 1984, 320 p.

3. Godunov, S.K. Ordinary differential equations with constant coefficient. [Godunov S.K. Obyknoennyye differentsial'nyye uravneniya s postoyannymi koeffitsientami : uchebnoye posobie. T. 1: Kraevyye zadachi]. Novosibirsk, 1994, 264 p.

4. Golub G.H., Van Loan Ch.F. Matrix computations. [Golub D., Van Loan Ch. Matrichnyye vychisleniya]. Moscow: Mir, 1999, 548 p.

5. Daleckii J.L., Krein M.G. Stability of solutions of differential equations in Banach space. [Daleckiy Yu.L., Kreyn M.G. Ustoyjchivost' resheniy differentsial'nyx uravneniy v banaxovom prostranstve]. Moscow: Nauka, 1970, 536 p.

6. Demidovich B.P. Lectures on mathematical theory of stability. [Demidovich B.P. Lekcii po matematicheskoy teorii ustoyjchivosti]. Moscow: Nauka, 1967, 472 p.

7. Kurbatov V.G., Chernov W.E. 'Mathematica' package in applied scientific researchers. [Kurbatov V.G., Chernov V.E. Paket "Matematika" v prikladnykh nauchnykh issledovaniyax : uchebnoye posobie]. Voronezh : VGU Publishing House, 2016, 240 p.

8. Massera J.L., Schäffer J.J. Linear differential equations and function spaces. [Massera X.L., Sheffer X.X. Lineynyye differentsial'nyye uravneniya i funktsional'nyye prostranstva]. Moscow: Mir,

1970, 456 p.

9. Pankov A.A. Bounded and almost periodic solutions of nonlinear operator differential equations. [Pankov A.A. Ogranichennye i pochti periodicheskie resheniya nelineynykh differentsial'no-operatornykh uravneniy]. Kiev, 1985, 182 p.

10. Pechkurov A.V. Bisectorial operator pencils and the problem of bounded solutions. [Pechkurov A.V. Bisektorial'nye operatornye puchki i zadacha ob ogranichennykh resheniyax]. *Izvestiya vysshix uchebnykh zavedenij. Matematika — Russian Mathematics*, 2012, no. 3, pp. 31–41.

11. Hartman P. Ordinary differential equations. [Харман Ф. Обыкновенные дифференциальные уравнения]. Moscow: Mir, 1970, 720 p.

12. Henry D. Geometric theory of semilinear parabolic equations. [Хенри Д. Геометрическая теория полунелинейных параболических уравнений]. Moscow: Mir, 1985, 376 p.

13. Hille E., Phillips R.S. Functional analysis and semi-groups. [Хилл Е., Филлипс Р. Функциональный анализ и полугруппы]. Moscow, 1962, 829 p.

14. Akhmerov R.R., Kurbatov V.G. Exponential dichotomy and stability of neutral type equations. *J. Differential Equations*, 1988, vol. 76, no. 1, pp. 1–25.

15. Antoulas A.C. Approximation of large-scale dynamical systems. Philadelphia, PA: Society for Industrial and Applied Mathematics (SIAM), 2005, 479 p.

16. Benner P., Gugercin S., Willcox K. A survey of projection-based model reduction methods for parametric dynamical systems. *SIAM Rev.*, 2015, vol. 57, no. 4, pp. 483–531.

17. Boichuk A.A., Pokutnii A.A. Bounded solutions of linear differential equations in a Banach space. *Nonlinear Oscillations*, 2006, vol. 9, no. 1, pp. 3–14.

18. Flinois T.L.B., Morgans A.S., Schmid P.J. Projection-free approximate balanced truncation of large unstable systems. *Phys. Rev. E* (3), 2015, vol. 92, no. 2, pp. 023012, 20.

19. Gugercin S., Antoulas A.C. A survey of model reduction by balanced truncation and some new results. *Internat. J. Control*, 2004, vol. 77, no. 8, pp. 748–766.

20. Kurbatov V.G., Kurbatova I.V. Krylov subspace methods of approximate solving differential equations from the point of view of functional calculus. *Eurasian Math. J.*, 2012, vol. 3, no. 4, pp. 53–80.

21. Kurbatov V.G., Kurbatova I.V. Computation of Green's function of the bounded solutions problem. *Computational Methods in Applied Mathematics*. Published Online 2017-10-12. <https://doi.org/10.1515/cmam-2017-0042>.

22. Moore, B. C. Principal component analysis in linear systems: controllability, observability, and model reduction. *IEEE Trans. Automat. Control*, 1981, vol. 26, no. 1, pp. 17–32.

23. Polderman J.W., Willems J.C. Introduction to mathematical systems theory. New York: Springer-Verlag, 1998, 424 p.

24. Reis T., Stykel T. Balanced truncation model reduction of second-order systems. *Math. Comput. Model. Dyn. Syst.*, 2008, vol. 14, no. 5, pp. 391–406.

25. Simoncini V., Szyld D.B. Recent computational developments in Krylov subspace methods for linear systems. *Numer. Linear Algebra Appl.*, 2007, vol. 14, no. 1, pp. 1–59.

26. van der Vorst, H. A. Iterative Krylov methods for large linear systems. Cambridge: Cambridge University Press, 2003. 221 p.

27. Wolfram S. An Elementary Introduction to the Wolfram Language. Champaign, IL : Wolfram Media, 2017, 339 p.

28. Zhou K., Salomon G., Wu E. Balanced realization and model reduction for unstable systems. *Internat. J. Robust Nonlinear Control*, 1999, vol. 9, no. 3, pp. 183–198.

*Беломытцева Е. Г., кандидат физико-математических наук, Воронежский государственный университет, доцент кафедры математической физики, Воронеж, Россия*

*E-mail: bell-lenochk@mail.ru*

*Тел.: +7(473)220-87-48*

*Курбатов В. Г., доктор физико-математических наук, Воронежский государственный университет, в. н. с. кафедры математической физики, Воронеж, Россия*

*E-mail: kv51@inbox.ru*

*Тел.: +7(473)220-87-48*

*Туленко Е. Б., кандидат физико-математических наук, Воронежский государственный университет, доцент кафедры математической физики, Воронеж, Россия*

*E-mail: tulenko@mail.ru*

*Тел.: +7(473)220-87-48*

*Belomytseva E. G., Department of Mathematical Physics, Voronezh State University, Voronezh, Russia*

*E-mail: bell-lenochk@mail.ru*

*Tel.: +7(473)220-87-48*

*Kurbatov V. G., Department of Mathematical Physics, Voronezh State University, Voronezh, Russia*

*E-mail: kv51@inbox.ru*

*Tel.: +7(473)220-87-48*

*Tulenko E. B., Department of Mathematical Physics, Voronezh State University, Voronezh, Russia*

*E-mail: tulenko@mail.ru*

*Tel.: +7(473)220-87-48*